

استفاده از فلورسانس کلروفیلی برای مطالعه رفتار روزندهای هوایی در گیاهان تحت تنش خشکی

An investigation on the possibility of use of chlorophyll fluorescence to study the stomatal behaviour in plants under drought stress

Received: 02.09.2009 / Accepted: 17.02.2010

دریافت: ۱۳۸۸/۶/۱۱ / پذیرش: ۱۳۸۸/۱۱/۲۸

A.H. Rezaei Nejad✉: Assistant Prof., Department of Horticultural Science, Faculty of Agriculture, Lorestan University, Khorramabad, Iran
(E-mail: rezaeinejad.hossein@gmail.com)

J. Harbinson: Assistant Prof., Horticultural Supply Chains Group, Plant Sciences, Wageningen University, Wageningen, The Netherlands

U. van Meeteren: Associate Prof., Horticultural Supply Chains Group, Plant Sciences, Wageningen University, Wageningen, The Netherlands

Abstract

Stomata play a key role in the control of plant water relations and photosynthesis. A rapid non-destructive method to study the stomatal behaviour in aerial parts of plants is important for researchers in plant sciences and agricultural fields. Stomata close in response to drought stress. Stomatal closure causes lower availability of CO₂ inside the leaf and thus a decrease in the rate of carboxylation. Thus, a measurement of relative quantum yield for electron transport by photosystem II (Φ_{PSII}) under a non-photorespiratory condition may be used to detect the closure of stomata. In this research we aimed to study the relationship between Φ_{PSII} and stomatal closing behaviour in *Tradescantia virginiana* under water stress and rehydration using a chlorophyll fluorescence imaging system. Results showed that in leaves from well-watered plants and in an atmosphere of 2% O₂ and normal CO₂, Φ_{PSII} was high (0.69) before excision, but 2 h dessication after excision Φ_{PSII} decreased significantly (0.33), and with the transition to high CO₂ Φ_{PSII} almost completely recovered to the value of the control images (0.66). Moreover, Φ_{PSII} increased significantly from 0.27 to 0.64 during rehydration of the dessicated leaves. Direct measurement of stomatal aperture in control and dessicated plants (7 and 1 μm , respectively) confirmed the high correlation between Φ_{PSII} under low O₂ concentration and stomatal closure as well as the effectiveness of chlorophyll fluorescence imaging system in the study of stomatal behaviour. Therefore, this new non-destructive method could be used to study stomatal closing behaviour and patchiness in different parts of a leaf.

Keywords: Stomata, chlorophyll fluorescence, drought stress, rehydration

عبدالحسین رضایی نژاد✉: استادیار گروه تولیدات گیاهی
دانشکده کشاورزی دانشگاه لرستان
(E-mail: rezaeinejad.hossein@gmail.com)

جرمی هربینسن: استادیار گروه باغبانی دانشگاه واخینینگن هلند
اولکه ون میترن: دانشیار گروه باغبانی دانشگاه واخینینگن هلند

چکیده

روزندهای هوایی، با کنترل تبادلات گازی اندام‌های فتوسنتر کننده گیاهان، نقشی اساسی در اکثر فعالیت‌های فیزیولوژیکی گیاه دارند. مطالعه رفتار سلول‌های روزنده در قسمت‌های مختلف اندام فتوسنتر کننده بدون تخریب آن اندام و در زمانی کوتاه از نیازهای مهم پژوهشگران علوم گیاهی و کشاورزی است. در شرایط تنش خشکی با بسته‌شدن روزندها میزان دی‌اسیدکرین داخل برگ کاهش یافته و فتوسنتر کاهش می‌یابد. بنابراین، عکسبرداری از عملکرد کوانتموی انتقال الکترون در فتوسیستم II فتوسنتر (Φ_{PSII}) باستی بتواند میزان Φ_{PSII} و رفتار روزندهای هوایی در گیاه برگ بیدی در شرایط تنش خشکی و جذب آب مجدد (rehydration) با استفاده از دستگاه عکسبرداری فلورسانس کلروفیلی انجام شد. نتایج این تحقیق نشان داد که قبل از جدا کردن برگ از گیاه مادری خوب آبیاری شده (شاهد)، در شرایط اکسیژن ۲٪ و دی‌اسیدکرین معمولی (۰/۰۳۵ درصد)، میزان Φ_{PSII} زیاد (۰/۶۹) بود و با جدا کردن برگ و ایجاد شرایط تنش خشکی به مدت دو ساعت میزان آن به طور معنی‌داری کاهش (۰/۰۳۳) یافت و با استعمال دی‌اسیدکرین ۵٪ روی همان برگ تحت تنش میزان Φ_{PSII} به اندازه شاهد افزایش (۰/۰۶۶) یافت. همچنین میزان Φ_{PSII} در برگ تحت تنش بعد از جذب آب مجدد از ۰/۰۲۷ به ۰/۰۶۴ افزایش یافت. علاوه بر این، اندازه‌گیری مستقیم میزان باز بودن دهانه روزندها در حالت شاهد (۰/۰۷ میکرومتر)، تنش خشکی (۱ میکرومتر)، صحبت رابطه قوی بین Φ_{PSII} در شرایط اکسیژن پایین و رفتار روزندهای هوایی و امکان استفاده از تصاویر فلورسانس کلروفیلی را برای مطالعه رفتار روزندها تایید کرد. بنابراین، در این روش نوین، با ایجاد تصویری از Φ_{PSII} در شرایط اکسیژن پایین می‌توان بدون تخریب برگ رفتار روزندها را در نقاط مختلف برگ مطالعه کرد.

واژه‌های کلیدی: روزندهای هوایی، فلورسانس کلروفیلی، تنش خشکی، جذب آب مجدد

مقدمه

روش بررسی

در این تحقیق از گیاه زینتی برگ بیدی (Tradescantia virginiana) استفاده گردید. این گیاه با دارا بودن روزندهای درشت و امکان تکثیر و رشد سریع به عنوان یک گیاه مدل در تحقیقات مربوط به روزندهای هوایی استفاده می‌شود (Franks & Farquhar 2001). گیاه مذکور به روش تقسیم بوته و به صورت گلداری در اتفاق رشدی با دمای پیوسته $21 \pm 0/5$ درجه سلسیوس، رطوبت 55 ± 5 درصد و شدت نور 120 ± 10 $\mu\text{mol m}^{-2} \text{s}^{-1}$ و با آبیاری مرتب پرورش داده شد. پس از شش هفته از برگ‌های جوان بالغ آن برای آزمایش استفاده گردید. برای اندازه‌گیری در حالت بدون تنفس (شاهد)، از برگ‌ها در حالت که متصل به گیاه مادری بودند استفاده گردید. سپس برای ایجاد حالت تنفس خشکی، برگ‌ها از قاعده قطع و از گیاه مادری جدا شدند. برای رفع تنفس خشکی و جذب آب مجدد (rehydration)، قاعده برگ درون بشر حاوی آب معمولی قرار داده شد. برای جذب بهتر آب توسط برگ و تا حد امکان حذف حباب‌های هوای مکیده شده به داخل آوندهای چوبی در حین قطع برگ و بعد از آن در شرایط تنفس خشکی، سه سانتی متر پایین برگ درون آب قطع گردید.

برای اندازه‌گیری Φ_{PSII} از یک دستگاه تصویربرداری فلورسانس کلروفیلی (FluorCam 700MF, Photon Systems Instruments, Brno, Czech Republic) و متصل به کامپیوتر و نرمافزار مربوطه (FluorCam Software, version 5.0) استفاده گردید که با گرفتن دو عکس متوالی از Φ_{PSII} در حالت تعادل نوری (F_s) و اشباع نوری (F_m) و محاسبه Φ_{PSII} براساس فرمول شماره ۱، تصویر نهایی Φ_{PSII} میانگین Φ_{PSII} و انحراف معیار (Standard Deviation) به دست آمد (Genty *et al.* 1989). میزان Φ_{PSII} بین صفر تا یک می‌باشد.

$$\Phi_{\text{PSII}} = (F'_m - F_s) / F'_m : ۱$$

شدت نور پیوسته $100 \mu\text{mol m}^{-2} \text{s}^{-1}$ توسط لامپ‌های نارنجی (Orange light-emitting diodes) و اشباع نوری با شدت $2500 \mu\text{mol m}^{-2} \text{s}^{-1}$ توسط لامپ هالوژن 250 وات تامین گردید. برای تنظیم ترکیب گازی هوا از سیلندرهای گاز نیتروژن، اکسیژن و دی‌اکسیدکربن متصل به کنترل کننده‌های جریان گاز و دستگاه ثبات جریان گاز استفاده و ترکیب گازی تولید شده به یک محفظه (cuvette) غیرقابل نفوذ به هوای بیرونی که در زیر دستگاه تصویربرداری قرار داشت فرستاده می‌شد. جهت اندازه‌گیری، قسمتی

روزندهای هوایی نقشی اساسی در روابط آبی و فتوسنتز گیاه دارند و عکس العمل آن‌ها به شرایط مختلف محیطی از عوامل اساسی موثر در رشد، نمو و تولید محصولات زراعی و باغی می‌باشد. باز و بسته‌شدن روزندهای هوایی نتیجه اثر متقابل فاکتورهای فیزیولوژیکی و شرایط محیطی است (Heterington & Assmann 1993, Kearns & Assmann 1993, Woodward 2003, Rezaei Nejad & van Meeteren 2005). روش‌های معمول مطالعه رفتار روزندها شامل روش‌های میکروسکوپی و پرومتری است. روش‌های میکروسکوپی شامل جداسازی اپیدرم برگ و یا روش‌های کپی‌برداری است که فقط اطلاعات مربوط به آن نقطه از برگ را نشان می‌دهد (Smith *et al.* 1989, Rezaei Nejad & van Meeteren 2005) روش‌های پرومتری هم فقط عدد متسطی از هدایت روزندهای مربوط به قسمتی از برگ داده می‌شود که در داخل محفظه دستگاه بوده ضمن اینکه هدایت روزندهای همیشه گویای رفتار مستقیم روزندهای نیست (Weyers & Meidner 1990). در سالهای اخیر، اندازه‌گیری فلورسانس کلروفیلی برای بررسی عملکرد فتوسنتز در بسیاری از گیاهان تحت تنفس خشکی مورد مطالعه قرار گرفته است (Lu & Zhang 1998, Meyer & Genty 1999, Lichtenthaler & Babani 2000, Maxwell & Johnson 2000). تحت تنفس خشکی، روزندهای هوایی بسته شده تا از خروج بیشتر آب از گیاه از طریق تعرق جلوگیری کنند. از طرف دیگر با بسته‌شدن روزندها ورود دی‌اکسیدکربن به برگ کاهش یافته و فتوسنتز کاهش می‌یابد (Massacchi & Cornic 1996, Cornic 2000). در نتیجه عملکرد نسی کوانتمی انتقال الکترون در فتوسیستم II (Φ_{PSII}) کاهش می‌یابد. بنابراین، از نظر تئوری با اندازه‌گیری Φ_{PSII} امکان مطالعه چگونگی بسته‌شدن روزندها وجود دارد. اما در هوای معمولی به علت تنفس نوری عملکرد Φ_{PSII} متناسب با کاهش فتوسنتز نیست. در همین راستا تحقیقات نشان داده است که در هوای با اکسیژن $2/2$ یا کمتر تنفس نوری انجام نمی‌شود (Genty *et al.* 1990). علاوه بر این، اگر کاهش در Φ_{PSII} فقط به خاطر بسته‌شدن روزندها باشد، قاعده‌تا قراردادن گیاه تحت تنفس در شرایط با غلظت بالای دی‌اکسیدکربن (به طوری که دی‌اکسیدکربن بتواند از روزندهای بسته عبور کند) بایستی Φ_{PSII} را به حالت شاهد برگ‌داند. بنابراین، هدف از این تحقیق بررسی امکان مطالعه رفتار روزندهای هوایی در گیاه تحت تنفس خشکی با استفاده اندازه‌گیری Φ_{PSII} بوده و نشان داده شده است که با استفاده از یک دستگاه تصویربرداری فلورسانس کلروفیلی تحت شرایط اکسیژن پایین امکان بررسی رفتار روزندها در گیاه در شرایط تنفس خشکی و رفع تنفس وجود دارد.

تصویر Φ_{PSII} همان برگ را در حالی نشان می‌دهد که به مدت دو ساعت با جدا شدن از گیاه مادری در حالت تنفس خشکی قرار گرفته است. قسمت پایین برگ که در شرایط اکسیژن پایین قرار داشته است دارای میزان Φ_{PSII} پایین بوده که نشان‌دهنده بسته بودن روزنها در شرایط تنفس خشکی است. نمودار فراوانی آن (E) نیز نشان‌دهنده فراوانی بالای نقاط با Φ_{PSII} حدود ۰/۲ تا ۰/۴ است. در حالی که نوک همان برگ که در شرایط تنفس خشکی با روزنها های بسته قرار داشته، اما در شرایط هوای معمولی بوده با توجه به انجام تنفس نوری و تغذیه فتوسنتر با تولید CO_2 هنوز دارای Φ_{PSII} بالای است و نمودار آن (F) نشان‌دهنده فراوانی بالای نقاط با Φ_{PSII} حدود ۰/۵ تا ۰/۷ است. رضایی نژاد و ون میترن (۲۰۰۵) نشان دادند که با قطع برگ در گیاه برگ بیدی محتوای نسبی آب کاهش یافته و روزنها بعد از دو ساعت به طور کامل بسته می‌شوند. همچنین، رضایی نژاد و همکاران (۲۰۰۶) نشان دادند که با کاهش محتوای نسبی آب و پتانسیل آب میزان Φ_{PSII} تحت اکسیژن پایین کاهش می‌یابد. همچنین رضایی نژاد و ون میترن (۲۰۰۷) مشاهده کردند که با قرار دادن قاعده برگ گیاه برگ بیدی در آب حاوی هورمون آبسیزیک اسید که از عوامل شناخته شده بسته شدن روزنها است میزان Φ_{PSII} تحت اکسیژن پایین کاهش می‌یابد. همه این موارد نشان‌گر رابطه قوی Φ_{PSII} در شرایط اکسیژن پایین با باز و بسته شدن روزنهاست. اما برای اطمینان از این رابطه می‌توان از ترکیب هوای حاوی اکسیژن پایین و دی‌اسیدکربن بسیار بالا استفاده کرد. در این شرایط دی‌اسیدکربن بر مقاومت روزنها غلبه کرده و در اختیار سلول‌های فتوسنترکننده قرار می‌گیرد ($Meyer \& Genty$ ۱۹۹۹). در نتیجه، اگر پایین بودن میزان Φ_{PSII} وابسته به کمبود دی‌اسیدکربن ناشی از بسته بودن روزنها و بالا بودن مقاومت روزنها تحت شرایط تنفس باشد بایستی میزان آن با استفاده از دی‌اسیدکربن بالا در ترکیب هوای اطراف برگ افزایش یابد. این موضوع در قسمت‌های G و I شکل ۱ نشان داده شده است. در این شکل تصویر Φ_{PSII} همان برگ نشان داده شده که دو ساعت در حالت تنفس خشکی بوده و سپس به مدت پنج دقیقه در شرایط دی‌اسیدکربن بالا (۰/۵) قرار گرفته است. در این حالت میزان Φ_{PSII} شبیه به حالت شاهد است.

تیمار تنفس خشکی بر میزان Φ_{PSII} بود ($P < 0.0001$). مقایسه میانگین‌ها (شکل ۲A) نشان داد که میانگین میزان Φ_{PSII} در حالت شاهد تفاوت بسیار معنی‌داری با حالت تنفس خشکی در حالت اکسیژن پایین به علاوه دی‌اسیدکربن معمولی (۰/۰۳۵) داشت ($P < 0.001$) ولی بین Φ_{PSII} در حالت شاهد و حالت تنفس خشکی در حالت اکسیژن پایین به علاوه دی‌اسیدکربن بالا (۰/۵) تفاوت معنی‌داری وجود نداشت ($P > 0.05$). همچنین نتایج تجزیه واریانس

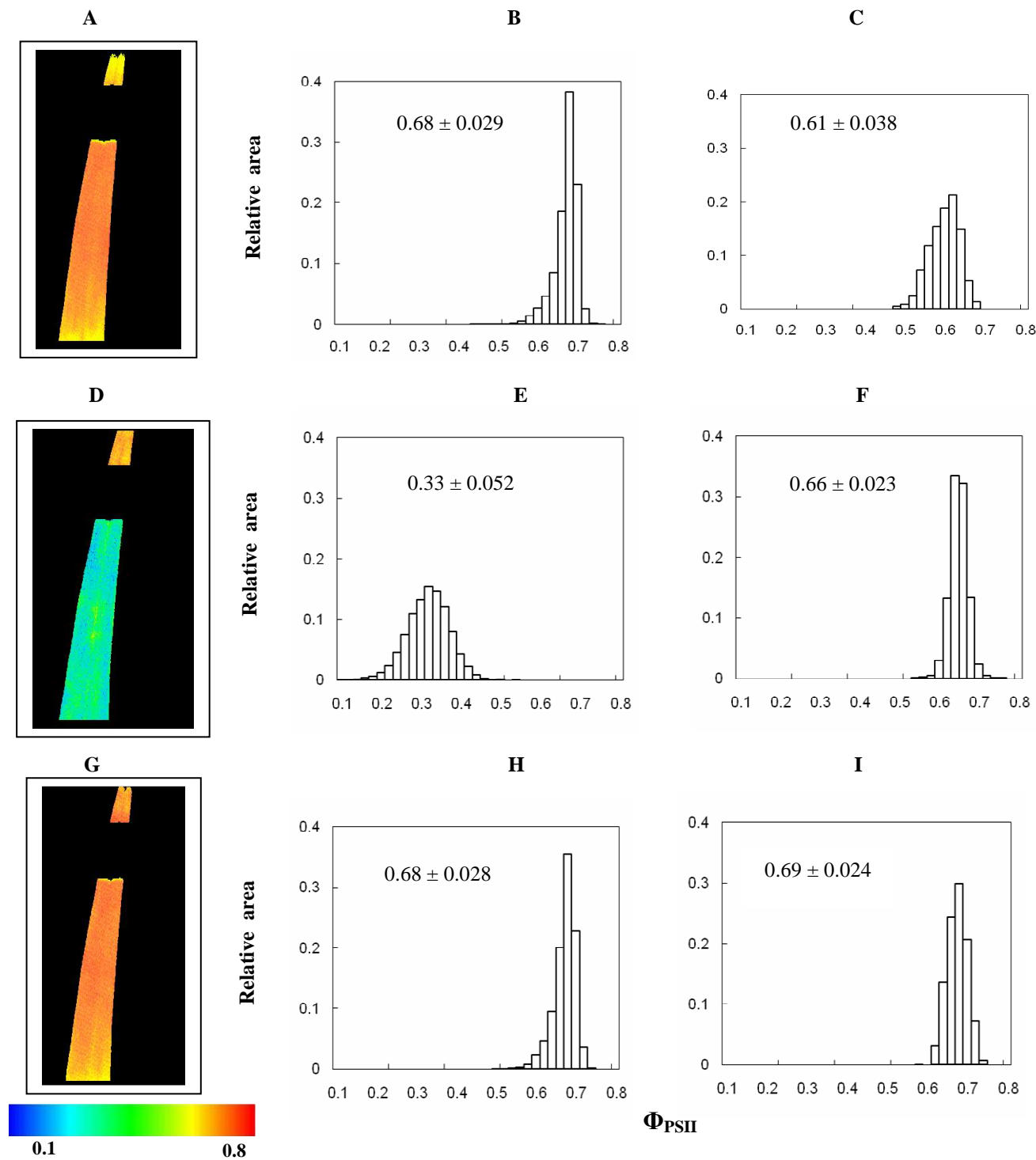
از برگ درون محفظه قرار گرفته و به مدت ۲۰ دقیقه در شرایط نور با شدت $s^{-1} m^{-2}$ $100 \mu\text{mol m}^{-2} s^{-1}$ قرار داده تا حالت پایدار در انتقال الکترون ایجاد گردد و سپس اندازه‌گیری انجام شد. در زمان اندازه‌گیری دمای داخل محفظه 1 ± 22 درجه سلسیوس بود. همچنین رطوبت نسبی هوای ورودی به داخل محفظه 40 ± 2 درجه سلسیوس بود. درصد بود. ابتدا اندازه‌گیری‌ها در شرایط هوای با اکسیژن کم (۰/۲)، دی‌اسیدکربن معمولی (۰/۰۳۵) و مابقی نیتروژن انجام گرفت. با توجه به اینکه نوک برگ‌های مورد نظر بیرون از محفظه و در شرایط هوای معمولی بود تصویر و قسمت برگ در ترکیب‌های گازی مختلف ثابت گردید. همچنین برای بررسی صحت رابطه بین رفتار روزنها و Φ_{PSII} ، اندازه‌گیری‌ها در شرایط اکسیژن پایین (۰/۲) و دی‌اسیدکربن بالا (۰/۵) نیز انجام گردیدند.

شاهد و تنفس خشکی (دو ساعت بعد از جدا شدن برگ از گیاه مادری) از طریق روش کپی‌برداری انجام گرفت (Smith et al. 1989). اندازه‌گیری‌ها با استفاده عکس‌های حاصل از یک دوربین مدار بسته (Nikon, DMX-1200) متصل به یک میکروسکوپ نوری (Leica, Aristoplan) با بزرگنمایی ۱۰۰ انجام گردید. از قسمت زیرین سمت راست یک سوم مانده به نوک برگ در هر برگ یک کپی برداشته و به طور تصادفی ۱۰ روزن به برای اندازه‌گیری عکسبرداری شد. برای آنالیز عکس‌ها از برنامه UTHSCSA IMAGE TOOL استفاده گردید.

در این آزمایش ۱۰ گیاه به طور تصادفی از اتفاق رشد انتخاب و از هر گیاه یک برگ بالغ جوان برای اندازه‌گیری‌ها مورد استفاده قرار گرفت. هر گیاه به عنوان یک تکرار در نظر گرفته شد. در شکل ۲A و ۲B، آنالیز یک‌طرفه واریانس (One-way ANOVA) انجام شد و مقایسه میانگین‌ها توسط آزمون توکی انجام گرفت. در شکل ۲C، رگرسیون خطی انجام شد. آنالیز داده‌ها و رسم نمودارها توسط برنامه‌های Excel و Prism 4 صورت گرفت.

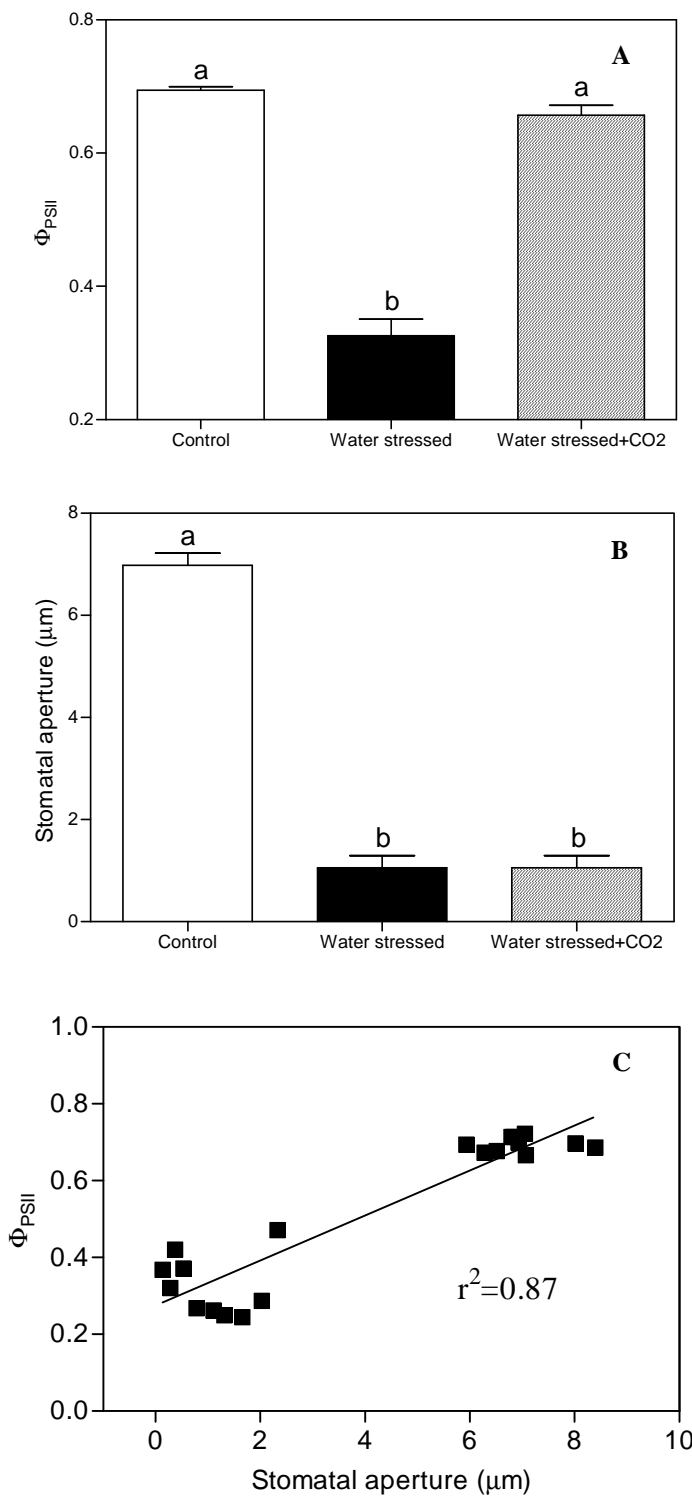
نتیجه و بحث

در شکل ۱، تصاویری از برگ گیاه برگ بیدی در شرایط بدون تنفس (شاهد) و تنفس خشکی نشان داده شده است. قسمت A نشان‌دهنده تصویر Φ_{PSII} برگ در حالتی است که برگ به گیاه مادری متصل بوده و در شرایط تنفس خشکی نیست. قسمت پایین برگ بیرون از محفظه در شرایط اکسیژن پایین (۰/۲) و قسمت نوک برگ بیرون از محفظه در هوای معمولی است جایی که تنفس نوری در حال انجام است. بالا بودن میزان Φ_{PSII} در قسمت پایین برگ نشان‌گر باز بودن روزنها در شرایط شاهد است. قسمت‌های B و C نمودار فراوانی نقاط با در طیف‌های مختلف Φ_{PSII} به ترتیب برای قسمت‌های پایین و نوک برگ نشان می‌دهد که حاکی از بالا بودن فراوانی نقاط با Φ_{PSII} در محدوده ۰/۵ تا ۰/۷ می‌باشد. در قسمت D



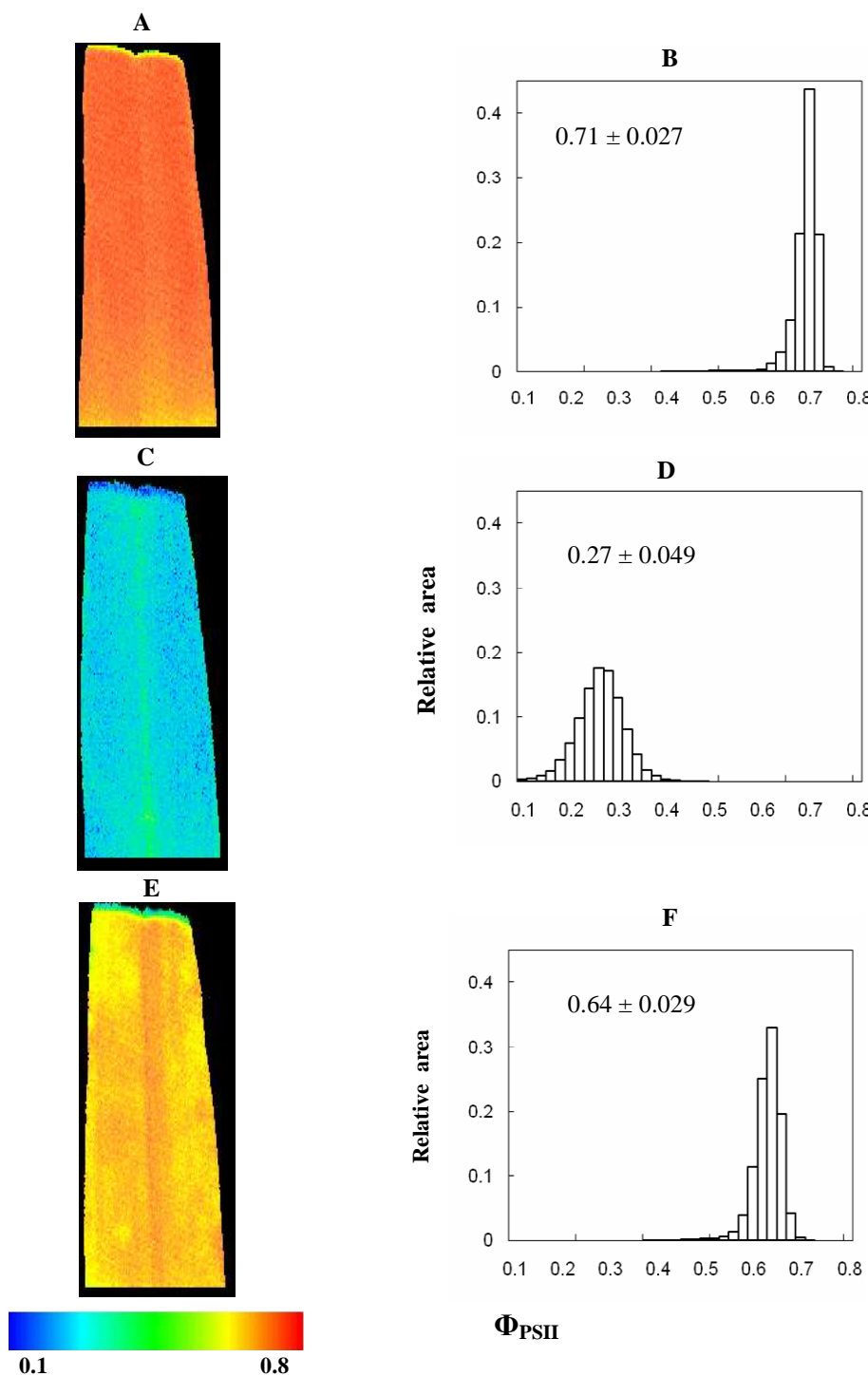
شکل ۱- تصاویر Φ_{PSII} در برگ گیاه برگ بیدی در حالت‌های شاهد (بدون تنش خشکی) در شرایط اکسیژن پایین (۰٪) به علاوه دی‌اکسیدکربن معمولی (۰.۰۳۵ درصد) (A)، دو ساعت تنش خشکی در شرایط اکسیژن پایین به علاوه دی‌اکسیدکربن معمولی (D) و دو ساعت تنش خشکی در شرایط اکسیژن پایین به علاوه دی‌اکسیدکربن بالا (۵٪) (G). نوک برگ‌ها خارج از محفظه ترکیب گازی یعنی در شرایط هوای معمولی بوده است. B، E و H نشان‌دهنده نمودار فراوانی نقاط برگ در طیف‌های مختلف Φ_{PSII} به ترتیب مربوط به قاعده برگ در تصاویر A، D و G می‌باشد. همچنان C، F و I نشان‌دهنده نمودار فراوانی نقاط برگ در طیف‌های مختلف Φ_{PSII} به ترتیب مربوط به نوک برگ در تصاویر A، D و G می‌باشد. میانگین Φ_{PSII} و انحراف معیار روی نمودارها نشان داده شده است. در پایین مقیاس رنگی مربوط به Φ_{PSII} در تصاویر نشان داده شده است.

Fig. 1. Images of Φ_{PSII} in *Tradescantia virginiana* leaves for control (without desiccation) under low O₂ concentration (2%) plus normal CO₂ concentration (0.035%) (A), after 2hr of desiccation under low O₂ concentration plus normal CO₂ concentration (D) and after 2hr of desiccation under low O₂ concentration plus high CO₂ concentration (5%) (G). The tips of the leaves were located outside the cuvette in normal air. B, E, H show the frequency distribution histograms of Φ_{PSII} of the basal parts of leaves (inside the cuvette) corresponding to the images of A, D and G, respectively. Moreover, C, F and I show the frequency distribution histograms of Φ_{PSII} of the tips leaves (outside the cuvette) corresponding to the images of A, D and G, respectively. Average values of $\Phi_{\text{PSII}} \pm$ standard deviation are indicated above the histograms. Colour scale of Φ_{PSII} is shown below the images.



شکل ۲- مقایسه میانگین میزان Φ_{PSII} (A) و میزان باز بودن دهانه روزنه‌ها (B) در برگ گیاه برگ بیدی در حالت‌های شاهد (بدون تنش خشکی) در شرایط اکسیژن پایین (۰٪) به علاوه دی‌اکسیدکربن معمولی (۰/۰۳۵٪)، دو ساعت تنش خشکی در شرایط اکسیژن پایین به علاوه دی‌اکسیدکربن معمولی و دو ساعت تنش خشکی در شرایط اکسیژن پایین به علاوه دی‌اکسیدکربن بالا (۰/۵٪). شکل C نشان‌دهنده رابطه بین Φ_{PSII} و میزان باز بودن دهانه روزنه‌ها در شرایط شاهد و دو ساعت تنش خشکی است.

Fig. 2. Mean comparisons of Φ_{PSII} (A) and stomatal aperture (B) in *Tradescantia virginiana* leaves for control (without desiccation) under low O₂ concentration (2%) plus normal CO₂ concentration (0.035%), after 2hr of desiccation under low O₂ concentration plus normal CO₂ concentration and after 2hr of desiccation under low O₂ concentration plus high CO₂ concentration (5%). Panel (C) shows the relationships between Φ_{PSII} and stomatal aperture for control and 2hr of desiccation.



شکل ۳- تصاویر Φ_{PSII} در برگ گیاه برگ بیدی در حالت‌های شاهد (بدون تنش) (A)، سه ساعت تنش خشکی (C) و سه ساعت نشان دهنده به علاوه یک ساعت جذب آب مجدد (E) در شرایط اکسیژن پایین (۲٪) و دی‌اکسیدکربن معمولی (۰/۰۳۵٪ درصد). B، D و F نشان دهنده نمودار فراوانی نقاط برگ در طیف‌های مختلف Φ_{PSII} به ترتیب مربوط به برگ در تصاویر A، C و E می‌باشد. میانگین Φ_{PSII} و انحراف معیار روی نمودارها نشان داده شده است. در پایین مقیاس رنگی مربوط به Φ_{PSII} در تصاویر نشان داده شده است.

Fig. 3. Images of Φ_{PSII} in *Tradescantia virginiana* leaves for control (without desiccation) (A), after 3hr of desiccation (C) and after 3hr of desiccation plus 1hr of rehydration (E) under low O₂ concentration (2%) plus normal CO₂ concentration (0.035%). B, D and F show the frequency distribution histograms of Φ_{PSII} of the leaves corresponding to the images of A, C and E, respectively. Average values of $\Phi_{PSII} \pm$ standard deviation are indicated above the histograms. Colour scale of Φ_{PSII} is shown below the images.

References

- Assmann, S.M. 1993. Signal transduction in guard cells. *Ann. Rev. Cell Biol.* 9: 345–375.
- Cornic, G. 2000. Drought stress inhibits photosynthesis by decreasing stomatal aperture not by affecting ATP synthesis. *Trends in Plant Sci.* 5: 187–188.
- Cornic, G. & Massacci, A. 1996. Leaf photosynthesis under drought stress. Pp. 347–366. In: Baker, N.R. (ed.). *Advances in photosynthesis: photosynthesis and the environment*. Dordrecht: Kluwer Academic Publishers.
- Franks, P.J. & Farquhar, G.D. 2001. The effect of exogenous abscisic acid on stomatal development, stomatal mechanics and leaf gas exchange in *Tradescantia virginiana*. *Plant Physiol.* 125: 935–942.
- Genty, B., Briantais, J.M. & Baker, N.R. 1989. The relationship between the quantum yield of photosynthetic electron transport and quenching of chlorophyll fluorescence. *Biochim. Biophys. Acta* 990: 87–92.
- Genty, B., Harbinson J. & Baker, N.R. 1990. Relative quantum efficiencies of photosystem I and II of leaves in photorespiratory and non-photorespiratory conditions. *Plant Physiol. Biochem.* 28: 1–10.
- Hetherington, A.M. & Woodward, F.I. 2003. The role of stomata in sensing and driving environmental change. *Nature* 424: 901–908.
- Kearns, E.V. & Assmann, S.M. 1993. The guard cell-environment connection. *Plant Physiol.* 102: 711–715.
- Lichtenthaler, H.K. & Babani, F. 2000. Detection of photosynthetic activity and water stress by imaging the red chlorophyll fluorescence. *Plant Physiol. Biochem.* 38: 889–895.
- Lu, C. & Zhang, J. 1998. Effects of water stress on photosynthesis, chlorophyll fluorescence and photoinhibition in wheat plants. *Aust. J. Plant Physiol.* 25: 883–892.
- Maxwell, K. & Johnson, G.N. 2000. Chlorophyll fluorescence: a practical guide. *J. Exp. Bot.* 51: 659–668.
- Meyer, S. & Genty, B. 1999. Heterogeneous inhibition of photosynthesis over the leaf surface of *Rosa rubiginosa* L. during water stress and abscisic acid treatment: induction of a metabolic component by limitation of CO₂ diffusion. *Planta* 210: 126–31.
- Rezaei Nejad A., Harbinson, J. & van Meeteren, U. 2006. Dynamics of spatial heterogeneity of stomatal closure in *Tradescantia virginiana* altered by growth at high relative air humidity. *J. Exp. Bot.* 57: 3669–3678.
- Rezaei Nejad, A. & van Meeteren, U. 2005. Stomatal response characteristics of *Tradescantia virginiana* grown at high relative air humidity. *Physiol. Plantar.* 125: 324–32.
- Rezaei Nejad, A. & van Meeteren, U. 2007. The role of abscisic acid in disturbed stomatal response characteristics of *Tradescantia virginiana* during growth at high relative air humidity. *J. Exp. Bot.* 58: 627–636.
- Smith, S., Weyers, J.D.B. & Berry, W.G. 1989. Variation in stomatal characteristics over the lower surface of *Commelinis communis* leaves. *Plant Cell Environ.* 12: 653–659.
- Weyers, J.D.B. & Meidner, H. 1990. Methods in Stomatal Research, 1st edition. Longman Scientific & Technical, Harlow, Pp. 129–155.

نشان دهنده تاثیر بسیار معنی دار تیمار تنفس خشکی بر میزان باز بودن دهانه روزنه بود ($P < 0.0001$). روزندها در حالت شاهد (بدون تنفس خشکی) کاملاً باز بوده و در حالت تنفس بسته شده اند (شکل ۲B). میانگین میزان باز بودن دهانه روزندها در حالت شاهد ۷ میکرومتر و بعد از دو ساعت تنفس خشکی به ۱ میکرومتر کاهش یافت. داده های میزان باز بودن دهانه روزندها در تیمار خشکی و تیمار خشکی به علاوه دی اکسید کربن ۵٪ تکرار شده اند تا بتوان دید که با وجود بسته بودن روزندها در حالت تنفس خشکی افزایش میزان دی اکسید کربن در شرایط اکسیژن پایین قادر به نفوذ به داخل برگ شده و باعث افزایش فعالیت فتوسترنز و در نتیجه افزایش Φ_{PSII} می شود (شکل ۲B). بنابراین، اندازه گیری مستقیم میزان باز بودن دهانه روزندها هم نشان از تایید نتایج حاصل از تخمین رفتار روزندها در اندازه گیری های Φ_{PSII} در شرایط اکسیژن پایین دارد. همچنین نتایج نشان دهنده رابطه قوی ($r^2 = 0.87$) بین Φ_{PSII} و میزان باز بودن دهانه روزنده است (شکل ۲C).

شکل ۳ نشان دهنده تصویر Φ_{PSII} و نمودار فراوانی آن در برگ گیاه برگ بیدی در شرایط شاهد یا بدون تنفس (A و B)، سه ساعت تنفس (rehydration) (C و D) و سپس جذب آب مجدد (E و F) در شرایط اکسیژن پایین و دی اکسید کربن به مدت یک ساعت (E و F) در شرایط اکسیژن پایین و دی اکسید کربن معمولی است. در قسمت A و B برگ متصل به گیاه مادری با روزندهای باز دارای Φ_{PSII} بالا بوده و بیشتر نقاط برگ دارای حدود ۰/۶ تا ۰/۸ هستند. در قسمت C و D سه ساعت پس از جدا شدن برگ از گیاه مادری روزندها کاملاً بسته شده و در نتیجه Φ_{PSII} به شدت کاهش یافته و بیشتر نقاط برگ دارای حدود ۰/۰ تا ۰/۴ هستند. قسمت E و F نشان دهنده همان برگ است که به مدت یک ساعت درون آب قرار گرفته و با جذب آب مجدد و باز شدن روزندها در آن افزایش یافته است. بنابراین، با توجه به نتایج این تحقیق امکان استفاده از تصاویر برگ در شرایط اکسیژن ۰/۲٪ برای بیان رفتار روزندها وجود دارد. از مزایای این روش نسبت به روش های معمول مطالعه باز و بسته شدن روزندهای هوایی مانند روش های میکروسکوپی (جدا کردن اپیدرم و روش کپی برداری)، بررسی سریع رفتار روزندها در عکس العمل به شرایط محیطی مختلف از جمله تنفس ها بدون تخریب برگ بوده، ضمن اینکه می توان همگنی یا ناهمگنی رفتار روزندها در نقاط مختلف یک برگ را به راحتی مطالعه و آنالیز کرد.

تشکر و قدردانی

بدین وسیله از وزارت علوم، تحقیقات و فناوری جمهوری اسلامی ایران به خاطر حمایت مالی از این تحقیق تشکر و قدردانی می گردد.